

Замет кошелькового невода с учетом воздействия на косяк шумов судна

Канд. техн. наук О.Н. Кручинин – ФГУП «ТИНРО-Центр»



Исследования, проведенные на кошельковом промысле тихоокеанской сардины, позволили разработать эмпирическую модель поведения рыб в зоне облова и выявить взаимосвязь параметров поведения и шумового акустического поля промыслового судна. На основе опыта кошелькового лова и экспериментальных данных предложен алгоритм замета кошелькового невода. В результате компьютерной реализации алгоритма замета с использованием модели поведения рыб получены теоретически возможные траектории заметов, из которых определена необходимая длина кошелькового невода при различных отношениях V_p/V_c . Эмпирические модели поведения рыб различных видов рыб и формализованные алгоритмы замета могут быть полезными при совершенствовании компьютерных тренажеров для отработки тактики кошелькового лова.

Известные схемы и математические модели процесса замета кошелькового невода можно разделить на две основные группы: с неизменным и изменяющимся направлением движения косяка в зоне облова. В первой группе рассматриваются **заметы по заранее заданной траектории** (Андреев Н.Н. Проектирование кошельковых неводов. М.: Пиц. пром., 1970. 277 с.; Калиновский В.С. Проектирование кошельковых неводов. Владивосток: «Изв. ТИНРО», 1975. Т. 94, с. 42–66; Мельников В.Н., Лукашов В.Н. Техника промышленного рыболовства. М.: Пиц. пром., 1981. 312 с.) и **заметы по неизвестной заранее траектории** (Лисовой А.П. Принципиальная схема проведения замета кошелькового невода при акустической наводке // Орудия океанического рыболовства. Труды, вып. XXXII. Калининград: Атлантический НИРО, 1971, с. 150–156; Ольховский В.Е., Яковлев В.И., Меньшиков В.И. Математическое обеспечение автоматизации тралового и кошелькового лова. М.: Пиц. пром., 1980. 168 с.). Преимуществом моделей этой группы является возможность определения длины кошелькового невода. Поэтому они оказались востребованными при разработках теоретических основ кошелькового лова и оценке в первом приближении необходимой длины кошелькового невода.

В реальных условиях промысла косяки, как правило, изменяют направление движения в зоне облова. Известные модели заметов этой группы предполагают движение косяка либо по направлению, наиболее благоприятному для выхода из зоны облова, либо по линии текущего пеленга (Гостомыслов Л.П. Кошельковый лов. Вероятность успеха при замете. Владивосток: ОНТИ ЦПКТБ «Дальрыба», 1975. 58 с.; Кручинин О.Н., Кузнецов Ю.А., Ефимов В.В. Модель поведения скоплений рыб в шумовом поле промыслового судна // Поведение рыб и орудия лова. Владивосток: ТИНРО, 1983, с. 3–11). Однако эти предположения страдают искусственностью и не всегда соответствуют реальному процессу. Поэтому нами на промысле тихоокеанской сардины по методике А.Я. Алифиренко (Тактика обмета косяков нагульной скумбрии крупногабаритными кошельковыми неводами // Промышленное рыболовство. Владивосток: ТИНРО, 1976. Вып. 6, с. 68–73) проведено исследование поведения косяков в зоне облова кошельковым неводом. Получено около 50 траекторий замета кошелькового невода и проанализированы более 400 экспериментальных значений реакции косяка в зоне облова. За критерий реакции принята скорость изменения направления движения косяка. В результате определено, что **основным параметром замета, влияющим на реакцию рыб, является скорость сближения между судном и косяком**. Причем в пределах различных дальностей реакция косяка различна при одной и той же скорости сближения с судном. Эмпирическая модель изменения направления движения косяка найдена нами в виде:

$$K'_p = \frac{\left[-2,986 + 4,042 \exp(-0,142 \frac{\Delta d}{\Delta t}) \right] (2,184 - 0,008d)}{2,184}, \quad (1)$$

где K'_p – изменение направления движения косяка, рад/с; d – дистанция между судном и косяком, м; $\Delta d/\Delta t$ – скорость изменения дистанции, м/с. На рис. 1 в качестве примера показан один из заметов, воспроизведенный по реальным промысловым данным и по модели (1). Видна хорошая сходимость реальной и моделируемой траектории движения косяка.

Существует гипотеза (Воловова Л.А., Макарова И.И. Современное состояние исследований влияния шумов от судов и орудий лова на эффективность промысла. ОИ, сер. 2 «Промышленное рыболовство». М.: ЦНИИЭИРХ, 1974. Вып. 2. 60 с.) о том, что реакция рыб на акустические шумы судна наиболее сильно проявляется с такого расстояния, на котором рыбы начинают улавливать сравнительно быстрое возрастание уровня звукового давления. Скорость изменения потенциала поля (в нашем случае – уровня звукового давления) в точке, перемещающейся в этом поле в направлении R , определяется из известного соотношения:

$$\frac{\Delta P}{\Delta t} = \frac{\Delta P}{\Delta R} \bar{V}_R, \quad (2)$$

В нашем случае: $\Delta P/\Delta t$ – скорость изменения уровня звукового давления в месте нахождения косяка, дБ/с; $\Delta P/\Delta R$ – градиент поля в направлении относительного перемещения косяка и судна, дБ/м; \bar{V}_R – скорость относительного перемещения в направлении R , м/с.

Для выявления значений звукового давления шумов в зоне облова нами проведена акустическая съемка шумового поля промыслового судна СТР-503. На рис. 2 представлен фрагмент картины шумового

поля судна, выраженного изолиниями, обозначенными в дБ относительно уровня шумов моря. Здесь же, по данным замета, изображенного на рис. 1, нанесены точки местоположения косяка в зоне облова, включающие начальную и конечную позиции косяка, а также точки, в которых произошло изменение направления движения косяка. По таким характерным точкам, выявленным для каждого замета, определили скорости изменения звукового давления при перемещении косяка относительно изолиний шумового поля судна. В результате получили эмпирическую зависимость скорости изменения уровня звукового давления от скорости изменения дистанции между судном и косяком:

$$\frac{\Delta P}{\Delta t} = 0.784 \left(\frac{\Delta d}{\Delta t} \right)^{0.542} \quad (3)$$

Сравнивая формулы (1) и (3), можно видеть, что изменение дистанции вызывает изменение звукового давления, которое, в свою очередь, вызывает изменение направления движения косяка. Необходимо отметить, что численные значения коэффициентов, входящих в выражения (1) и (3), могут быть разными для различных видов рыб.

Анализируя рис. 1 и выражение (1), можно заключить, что в общем случае траектория движения косяка определяется траекторией движения судна: при приближении судна косяк изменяет направление движения, при удалении – сохраняет первоначальное движение. Исходя из этого, курс судна на каждом шаге замета необходимо корректировать в соответствии с определенными правилами или алгоритмами. На основе экспериментально-промышленных материалов по кошельковому лову, изложенных в работах многих исследователей (Лисовой А.П. Анализ тактических приемов кошелькового лова // Тр. Калрыбвтуза, 1973. Вып. 43, с. 115–126; Алифиренко, 1976; Гостомыслов Л.П. Способы замета кошелькового невода. Владивосток: Дальиздат, 1977. 43 с.; Сушенцов В.А. Техника и тактика промысла сардины. Владивосток: ОНТИ ЦПКТБ «Дальрыба», 1977. 20 с.; Кручинин О.Н., Кузнецов Ю.А. Методика оценки параметров поведения рыб в зоне замета кошелькового невода. Владивосток: Дальрыбвтуз, 1985. 36 с.; и др.), и выявленных нами закономерностей поведения косяков, сформулируем алгоритм замета следующим образом.

1. Перед заметом кошелькового невода определяют направление движения косяка, и судно выводится на курс, близкий к этому направлению.

2. На начальной стадии замета, когда курсовой угол меньше 80–90°, судно движется по пологой траектории. При сближении с косяком курс судна изменяют незначительно.

3. При удалении от косяка, когда курсовой угол меньше 80–90°, подворачивают вправо, чтобы направления движения судна и косяка стали приблизительно параллельными.

4. Как только курсовой угол становится больше 80–90°, начинают циркуляцию в обхват косяка. При этом необходимо соблюсти первое условие успешности замета (Андреев, 1970; Лисовой, 1971): нижняя подбора невода при подходе к ней косяка должна погрузиться на глубину расположения рыбы.

5. Когда курсовой угол достигает 120–150°, обхват косяка считается закончившимся и судно направляют в начальную точку замета. При этом необходимо соблюсти второе условие успешности замета (Андреев, 1970): клячи невода должны сомкнуться до подхода к ним косяка.

На рис. 3 представлены графики, построенные в результате компьютерной реализации вышеприведенного алгоритма замета при различных отношениях скорости рыбы и судна V_p/V_c . При расчетах приняты следующие исходные параметры замета: курсовой угол на косяк $q_0 = 40^\circ$; дистанция до косяка $d_0 = 150$ м; скорость судна при замете $V_c = 5$ м/с; элементарный промежуток времени $\Delta t = 10$ с. Скорость изменения направления движения косяка в зоне облова рассчитывали по формуле (1). Анализ траекторий заметов на рис. 3 показывает, что при принятых исходных параметрах для уверенного облова малоподвижных косяков ($V_p/V_c = 0.1+0.2$) достаточно невода длиной 500–650 м; при $V_p/V_c = 0.4+0.6$ необходимая длина невода составит 850–1500 м.

Нами не получено в аналитическом виде выражение для определения необходимой длины кошелькового невода. При условии из-

меняющегося направления движения косяка, которое к тому же зависит от текущих параметров замета, получить такое выражение довольно сложно. Однако эмпирические модели поведения различных видов рыб в зоне облова и формализованные алгоритмы замета могут быть полезными для совершенствования компьютерных тренажеров ручного и автоматизированного заметов. В первом из них при заданной длине невода отрабатывается оптимальная, с точки зрения рационального использования длины невода, тактика выполнения замета кошелькового невода. Такой компьютерный тренажер разработан нами и используется в учебном процессе Дальрыбвтуза (Бакова О.В., Кузнецов Ю.А., Кручинин О.Н. Отработка тактики замета кошелькового невода с помощью ЭВМ-тренажера // Методическое пособие. Владивосток: Дальрыбвтуз, 1987. 16 с.). Во втором тренажере, при условии бесконечной длины невода, определяются оптимальные начальные параметры замета и необходимая для уверенного облова длина кошелькового невода.

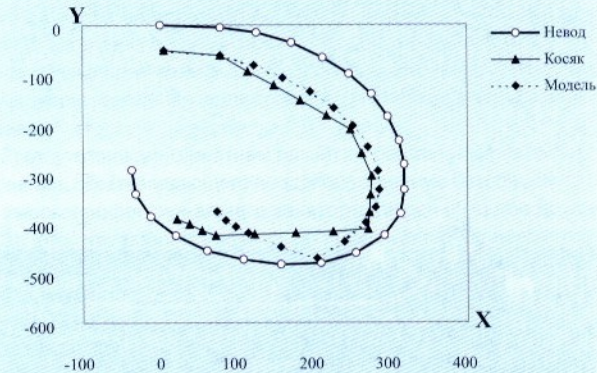


Рис. 1. Экспериментальная и моделируемая траектории движения косяка в зоне облова кошельковым неводом длиной 1000 м

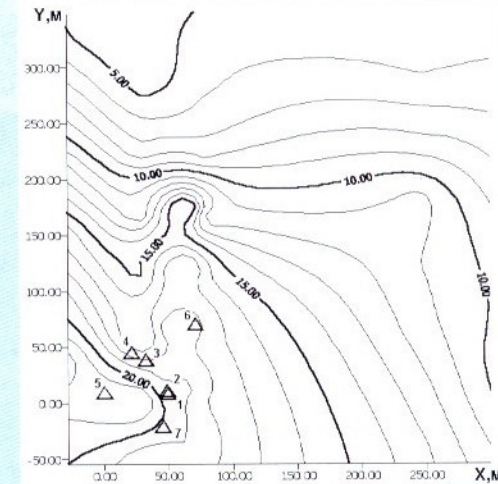


Рис. 2. Шумовое акустическое поле судна и точки положения косяка в процессе облова кошельковым неводом

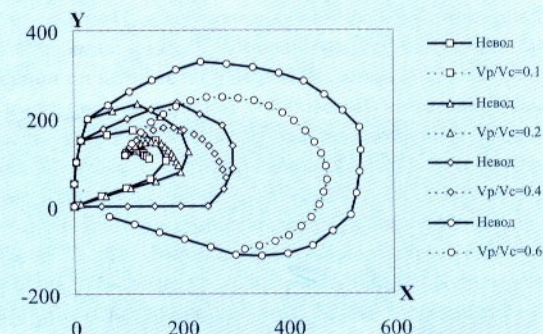


Рис. 3. Компьютерное моделирование траекторий замета и движения косяка в зоне облова кошельковым неводом